

*Caratterizzazione delle rocce di copertura e completamento dell'analisi della  
fratturazione nelle rocce del potenziale reservoir.*

## ***Allegato 1***

*S. Bigi, M.-C. Tartarello, L. Ruggiero*

*Centro di ricerca Previsione, Prevenzione e Controllo dei Rischi Geologici - CERl*

*Settembre, 2016*



**SAPIENZA**  
UNIVERSITÀ DI ROMA

## ELENCO DELLE STAZIONI DI MISURA DI SUPERFICIE, UBICAZIONE, MISURE E SCANLINES

stop	X	Y	dip	dip azimuth	strie	descrizione	note
stop 1	453666	4333019	50	270		sistemi di fratture di taglio.	
			77	265			
			70	285	55	faglia	
			56	170		in alcuni punti le fratture sviluppano una diminuzione di granulometria	
			80	233			
			83	175			
			85	300			
stop 2	453726	4333008	10	277		strato. Scan line 1 (le fratture sono molto lunghe > 10 m)	
stop 3	452204	4331359	75	125		passaggio tra rioliti MTZ e ULM	
			85	300			
			75	60			
			80	60		mineralizzata	
stop 4	452079	4331390	10	280		strato. Scan line 2 rioliti tufacee.	
stop 5	469456	4329785	55	187		vena riempita da quarzo	I riempimenti sono cristallini, con cristalli anche di 1 cm. Sembra caotico nelle zone più spesse. È sintassiale.
			85	90		vena con riempimento perpendicolare alle pareti	
			84	290		vena	
			82	285		vena	
			88	285			
			88	285			
			85	20			
			78	80			
			20	155		strati	sopra il livello sabbioso ci sono conglomerati (2 m) eterometrici e caotici
stop 6	460184	4653091	30	250		strati. Scan line 3	spessore dell'affioramento 160 cm
stop 7	467421	4328756	80	70	100	faglia	cava dell'acquacoltura - vicino diga
			88	80		faglia	
			88	300		piano associato alla faglia	
			75	120		piano associato alla faglia	
			75	100		piano associato alla faglia	
			60	110		faglia	spessore del core 50 cm
			70	100			
stop 8	468646	4330315	75	140		cixerri- faglia in conglomerati; zona di faglia larga 50 cm, con 20 cm di zona cementata.	
stop 9	468639	4330319	10	253		andesiti. Scan line 4	top di strato, fratture sub-

							verticali. Le fratture sono sigillate e hanno elevata rugosità
stop 10			88	42		sulla cresta, vena mineralizzata molto lunga	
			75	354		frattura in andesiti brecciate	
			88	220			
			70	215			
stop 11	468843	4330602	70	230		sistema principale	Fast scan line su andesiti
			65	240		sistema principale	
			68	190		sistema coniugato	
			85	345		sistema coniugato	
stop 12	452771	4333268					cava rioliti alterate. 2 sistemi di faglie distensive.
stop 13	454411	4338061	30	220		strato Cixerri	scan line 5 - cava.
stop 14	454363	4338188	85	335		faglia trascorrente	
			75	337		faglia	
stop 15	454397	4338121	88	155		faglia associata al thrust	
			50	230	90	thrust	
stop 16	454444	4338077				thrust con direzione N50W	
stop 17	454376	4338196					scan line 6.

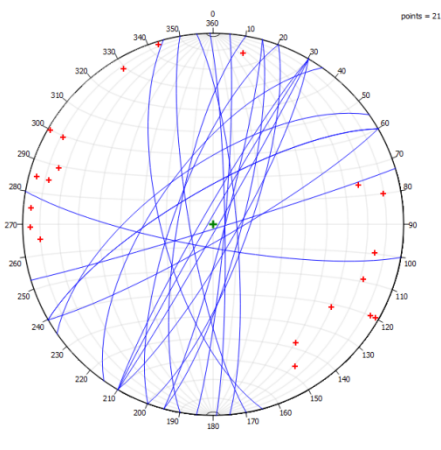
**Stazione 12 – Rioliti Alterate Direzione scan line N60 W Proiezione faglie nella cava. Frequenza della fratturazione in rioliti alterate X = 452771; Y = 4333268**

N	D	dip	dip azimuth	note
1	0	88	163	
2	1,4	83	150	
3	3,1	75	330	
4	3,3	85	105	
5	3,6	88	120	
6	5	65	325	zona di faglia ampia circa 30 cm, molto alterata
7	5,1	75	330	
8	5,5	85	300	20 cm
9	5,7	68	255	
10	7,1	85	89	
11	8,1	80	85	
12	9	75	280	
13	12,3	80	120	sistema di faglie parallele, larga 20 cm a dx e 90 cm a sx. la zona centrale è ampia 30 cm. La zona più fratturata a sx è di 30 cm.
14	12,5	85	300	
15	13,1	78	105	
16	14,2	80	190	
17	14,5	85	95	
18	15,8	88	300	faglia larga 67 cm, con piani paralleli aventi giacitura 88/300; 88/310. l'apertura va da 1 a 1.5 cm.
19	16,9	73	290	
20	17,9	75	110	apertura 5 cm
21	19,3	80	260	

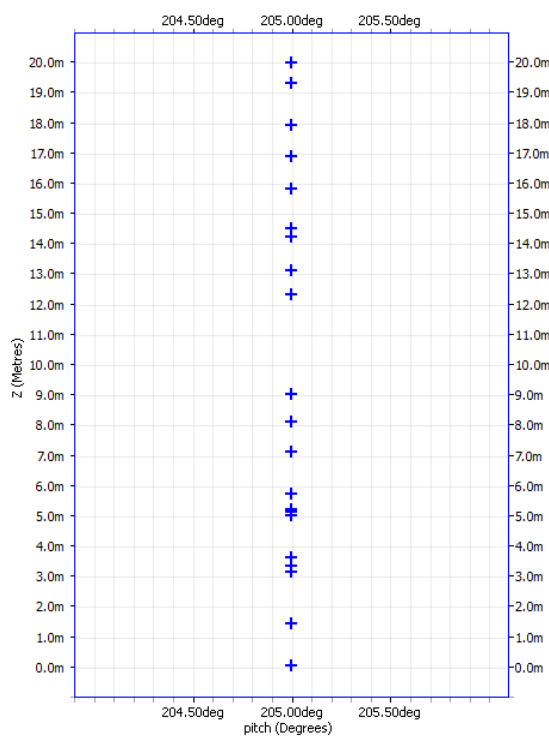
22	20	65	305	
----	----	----	-----	--



Panoramica della cava dello stop 12.



Proiezione delle fratture su reticolo di Smidth (emisfero inferiore)



Frequenza delle faglie nella cava dello stop 12. Il valore della direzione è il valore medio della popolazione di fratture considerate